

ある概均質ベクトル空間のHOLONOMY DIAGRAMについて

東京教育大学付属盲学校 尾関 育三

まえがき

概均質ベクトル空間の b -多項式 (b -関数) $b(s)$ を求めるためには、その空間の *orbital decomposition* を行ない、得られた *orbits* の中から b -多項式の因子に対応すると考えられる、いわゆる “good orbit”^註 を見いだして行なうという方法がとられていた。この方法は木村達雄氏によって有限個の *orbits* に分解する可能性をもつ空間が確定されてからは、その範囲に属する空間に適用されて、かなりの成果を上げることができた。しかし、作用する群と表現空間とが複雑さを増すにつれて、*orbital decomposition* が完成しても、“good orbit”であることが確認できる *orbits* が十分に得られなかったり、ある因子のべきで割れることの証明ができなかったりして、 b -多項式の決定に困難をきたす例が現われるようになってきた。表 1 は筆者が *orbital decomposition* を完成し、昨年春の学会で報告した「GL(8)

が3次の skew Tensor の空間に induce する表現の orbits と、その代表点および、それらに対応することが確定。もしくは推定された b -多項式の因子等を示したものであるが、これでは b -多項式を決定することは困難であった。ところが、その直後から "holonomy system" に関する理論が急速に進歩し、概均質ベクトル空間の相対不変式の holonomy diagram を決定することによって、 b -多項式が確定できることがあることが明らかにされた。^{註2} 図1は先に述べた $GL(8)$ の holonomy diagram であり、表1の結果から予想された b -多項式がそのまま事実として確定された。

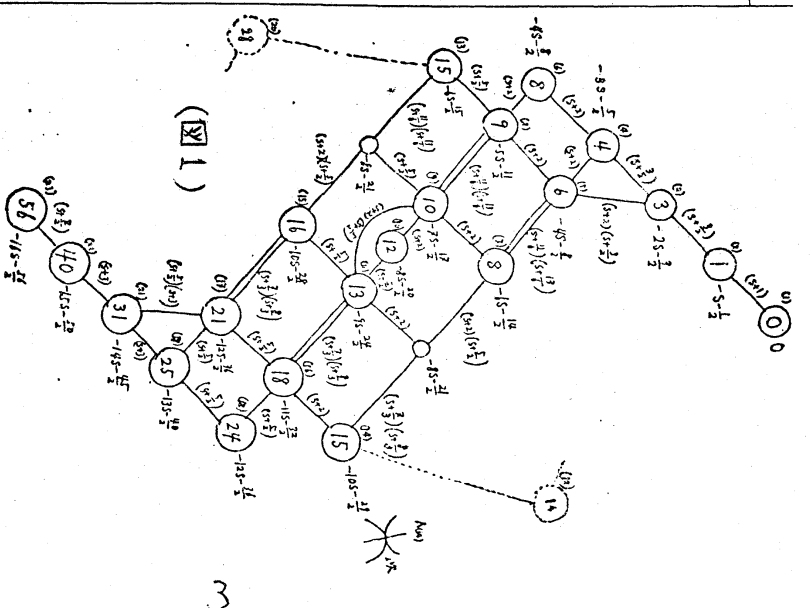
図2は木村氏によって決定された $SL(5) \times GL(3)$ の holonomy diagram で各 holonomy manifold が G_0 prehomogeneous な交わりで、次々につながっており、 b -多項式を決定するのに極めて好都合な例である。

さて、以上のような成功に促されて筆者は「有限個の orbits をもつと考えられる最後の既約概均質ベクトル空間」で orbital decomposition が極めて困難な $SL(5) \times GL(4)$ に、この方法を用い、 b -多項式を決定してみようと試みた。その結果、holonomy diagram の主要な部分を決定することができたが、この空間の場合、従来の例に見られない種々の困難にも遭遇している。以下これについて述べることにする。

表 1.

1	代表点	column	$tr_{\mathbb{A}} A$	$b(S)$ の因子	GL_2 の構造	dual
1	α_0	0			$SL(3)$	23
2	α_1	1	$-\frac{5}{2}$	$S+1$	$(GL(1) \times SL(2)) \cdot (Ga)^5$	22
3	α_3	3	$-\frac{5}{2}, -\frac{5}{2}$	$S + \frac{5}{2}$	$(GL(1)^2 \times SL(2)) \cdot U(6)$	21
4	α_4	4	$-\frac{5}{2}$	$S + \frac{5}{2}$	$GL(1)^3 \cdot U(9)$	19
5	α_6	6	$-\frac{5}{2}$	$S+2$	$(GL(1)^2 \times SL(2)) \cdot U(9)$	17
6	α_8	8	$-\frac{5}{2}, -\frac{5}{2}$	$S+2$	$(GL(1) \times SL(2)) \cdot U(12)$	18
7	α_8	8	$-\frac{5}{2}, -\frac{5}{2}$	$S + \frac{5}{2}$	$(GL(1) \times SL(2)^3) \cdot (Ga)^6$	15
8	α_9	9	$-\frac{5}{2}, -\frac{5}{2}$	$S + \frac{5}{2}$	$(GL(1)^2 \times SL(2)^2) \cdot U(9)$	16
9	α_{10}	10	$-\frac{5}{2}$	$S+2$	$(GL(1)^2 \times SL(2)) \cdot U(13)$	11
10	α_{12}	12	$-\frac{5}{2}$	$S+2$	$(GL(1)^3 \times SL(2)^2) \cdot (Ga)^{12}$	10
11	α_{13}	13	$-\frac{5}{2}$	$S+2$	$(GL(1) \times SL(2)) \cdot U(17)$	9
12	α_{14}	14	$-\frac{5}{2}$	$S + \frac{5}{2}$	$(GL(1) \times Ga^2) \cdot (Ga)^7$	20
13	α_{15}	15	$-\frac{5}{2}$	$S + \frac{5}{2}$	$(GL(1) \times Sp(2) \times SL(3)) \cdot (Ga)^4$	14
14	α_{16}	15	$-\frac{5}{2}$	$S + \frac{5}{2}$	$(GL(1)^2 \times SL(2)^2) \cdot U(15)$	13
15	α_{16}	16	$-\frac{5}{2}$	$S + \frac{5}{2}$	$(GL(1)^2 \times SL(2)^2) \cdot U(16)$	7
16	α_{18}	18	$-\frac{5}{2}$	$S + \frac{5}{2}$	$(GL(1)^3 \times SL(2)^2) \cdot U(17)$	8
17	α_{21}	21	$-\frac{5}{2}$	$S + \frac{5}{2}$	$(GL(1)^2 \times SL(3)) \cdot U(19)$	5
18	α_{24}	24	$-\frac{5}{2}$	$S + \frac{5}{2}$	$(SL(3)^2 \times SL(2)) \times GL(1) \cdot (Ga)^{12}$	6
19	α_{25}	25	$-\frac{5}{2}$	$S + \frac{5}{2}$	$(GL(1)^2 \times SL(3)) \times GL(2) \cdot U(22)$	4
20	α_{28}	28	$-\frac{5}{2}$	$S + \frac{5}{2}$	$(GL(1)^2 \times Sp(3)) \cdot U(13)$	12
21	α_{31}	31	$-\frac{5}{2}$	$S + \frac{5}{2}$	$(GL(1)^2 \times Sp(2) \times SL(3)) \cdot U(19)$	3
22	α_{40}	40	$-\frac{5}{2}$	$S + \frac{5}{2}$	$(GL(1) \times SL(3)) \times SL(5) \cdot (Ga)^5$	2
23	α_{56}	56	0	$S + \frac{5}{2}$	$GL(8)$	1

但し 一般に $U(n)$ の n 次元 \mathbb{R} -ホロント群を意味す。(唯一つは $U(1)$)
 Q_a は 1次元 additive group の意味.



(図 1)

$GL(8)$ 相对不変式 = 56元16次式
 目 23-軌跡
 $Q(S) = (S+1)(S+\frac{3}{2})^2(S+\frac{11}{2})(S+2)^3(S+\frac{13}{2})$
 $\times (S+\frac{7}{2})(S+\frac{5}{2})^3(S+\frac{8}{2})(S+3)^2(S+\frac{2}{2})$
 (I. Ogaki, June 1974)

1. $\chi_0 = (u_{11}u_4 + u_{31}u_6) \wedge u_8 + (u_{11}u_4 + u_{21}u_5) \wedge u_7 + u_{11}u_{21}u_3 + u_{41}u_{51}u_6$
2. $\chi_1 = (u_{11}u_4 + u_{31}u_6) \wedge u_8 + (u_{11}u_4 + u_{21}u_5) \wedge u_7 + u_{11}u_{21}u_3 + u_{11}u_{51}u_6 + u_{21}u_{41}u_6$
3. $\chi_3 = (u_{11}u_4 + u_{31}u_6) \wedge u_8 + (u_{11}u_4 + u_{21}u_5) \wedge u_7 + u_{11}u_{21}u_3 + u_{11}u_{51}u_6$
4. $\chi_4 = (u_{11}u_4 + u_{31}u_6) \wedge u_8 + (u_{11}u_4 + u_{21}u_5) \wedge u_7 + u_{11}u_{21}u_3$
5. $\chi_6 = (u_{11}u_4 + u_{21}u_6) \wedge u_8 + (u_{21}u_5 + u_{31}u_6) \wedge u_7 + u_{11}u_{21}u_3$
6. $\chi_8 = (u_{11}u_4 + u_{31}u_6) \wedge u_8 + (u_{11}u_4 + u_{21}u_5) \wedge u_7$
7. $\chi_8' = (u_{11}u_4 + u_{21}u_5 + u_{31}u_6) \wedge u_8 + (u_{11}u_5 + u_{21}u_6) \wedge u_7 + u_{11}u_{21}u_3$
8. $\chi_9 = u_{11}u_4u_8 + (u_{21}u_5 + u_{31}u_6) \wedge u_7 + u_{11}u_{21}u_3$
9. $\chi_{10} = (u_{11}u_4 + u_{21}u_5 + u_{31}u_6) \wedge u_8 + (u_{11}u_5 + u_{21}u_6) \wedge u_7$
10. $\chi_{12} = u_{11}u_{41}u_8 + u_{21}u_{51}u_7 + u_{11}u_{21}u_3 + u_{41}u_{51}u_6$
11. $\chi_{13} = u_{11}u_{41}u_8 + u_{21}u_{51}u_7 + u_{11}u_{21}u_3 + u_{41}u_{51}u_6 + u_{21}u_{41}u_6$
12. $\chi_{14} = (u_{11}u_4 + u_{21}u_5 + u_{31}u_6) \wedge u_7 + u_{11}u_{21}u_3 + u_{41}u_{51}u_6$
13. $\chi_{15} = u_{11}u_{41}u_8 + (u_{21}u_5 + u_{31}u_6) \wedge u_7$
14. $\chi_{15}' = (u_{11}u_4 + u_{21}u_5) \wedge u_7 + u_{11}u_{21}u_3 + u_{41}u_{51}u_6$
15. $\chi_{16} = u_{11}u_{41}u_8 + u_{21}u_{51}u_7 + u_{11}u_{21}u_3 + u_{11}u_{51}u_6$
16. $\chi_{18} = u_{11}u_{41}u_7 + u_{11}u_{21}u_3 + u_{41}u_{51}u_6$
17. $\chi_{21} = u_{11}u_{41}u_7 + u_{11}u_{21}u_3 + u_{11}u_{51}u_6 + u_{21}u_{41}u_6$
18. $\chi_{24} = u_{11}u_{21}u_3 + u_{41}u_{51}u_6$
19. $\chi_{25} = u_{41}u_{21}u_3 + u_{11}u_{51}u_6 + u_{21}u_{41}u_6$
20. $\chi_{28} = u_{11}u_{41}u_7 + u_{11}u_{21}u_3 + u_{41}u_{51}u_6$
21. $\chi_{31} = u_{11}u_{21}u_3 + u_{11}u_{51}u_6$
22. $\chi_{40} = u_{11}u_{21}u_3$
23. $\chi_{56} = 0$

(木村 · June 1974)

SL(5) × GL(3)

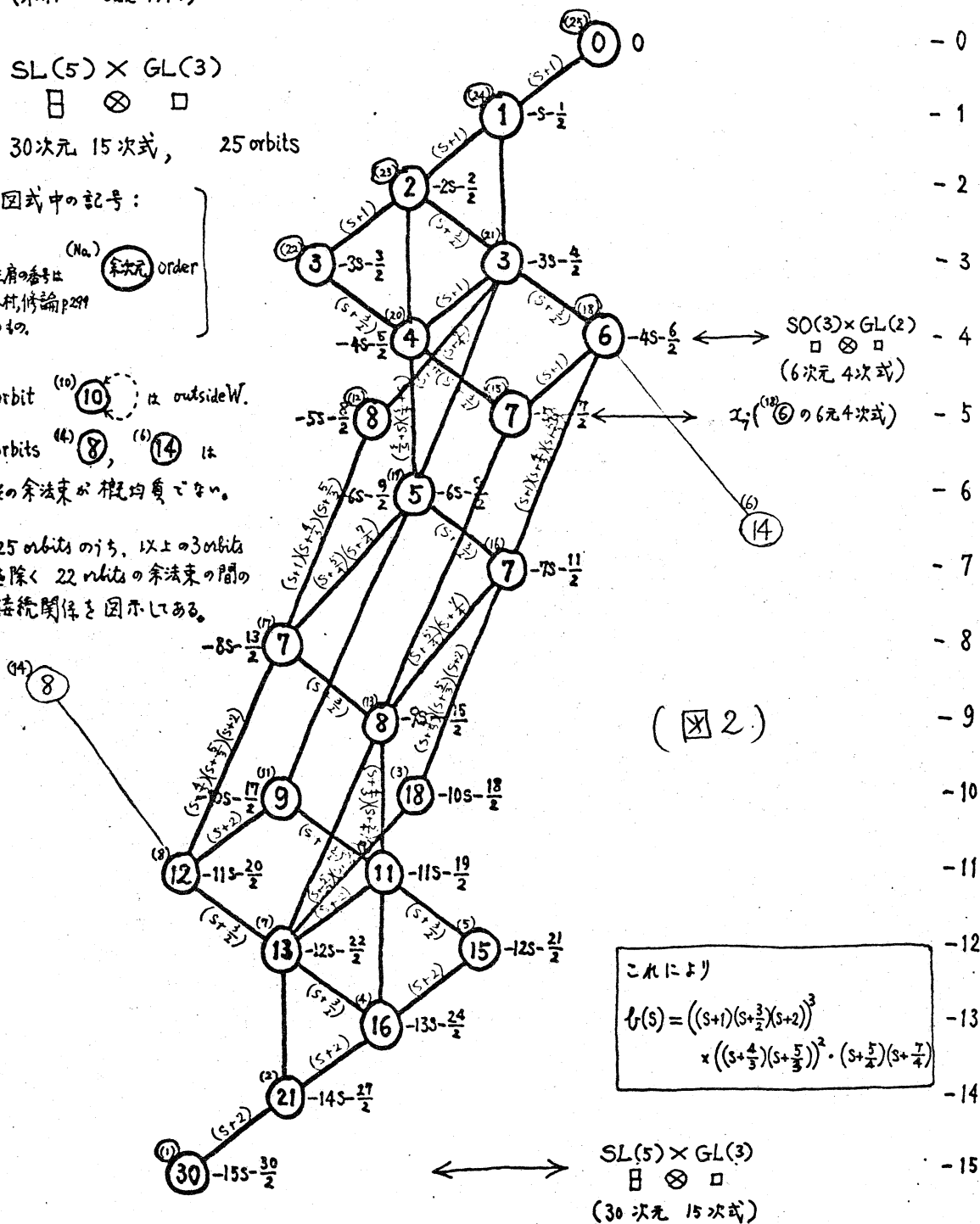
□ ⊗ □

30次元 15次式, 25 orbits

図式中の記号:
 (No.) (○) order
 左肩の番号は
 木村, 倚論 p291
 のもの.

orbit ⁽¹⁰⁾ (10) は outside W.
 orbits ⁽⁴⁾ (8), ⁽⁶⁾ (14) は
 その余法束が概均質でない.

25 orbits のうち, 以上の3 orbits
 を除く 22 orbits の余法束の間の
 接続関係を図示してある.



註1 orbit Gx_i が "good orbit" であるとは

(1) G が orbit Gx_i の conormal bundle

$\overline{\{(x, y) \in V \times V^* \mid x \in Gx_i, y \in V_x^*\}} \subset V \times V^*$ に概均質に作用すること。

(2) orbit Gx_i の conormal bundle が characteristic variety

$W = \overline{\{(x, t \cdot \text{grad } \log f(x)) \mid x \in V - S\}} \subset V \times V^*$ に含まれる。

であることをいう。ただし $f(x)$ は概均質ベクトル空間 (G, V) の既約相対不変多項式 (既約正則ならば定数倍を除いて一通りに定まる)、 V^* は V の dual、 S は $f(x)$ の零点集合、 V_x^* は $x \in V$ の conormal vector space $\{y \in V^* \mid \text{内積}(y, \sigma x) = 0\}$ とする。

b -多項式 $b(S)$ の因子について次の定理が成り立つ。^{但し G のリ環}

定理1 (佐藤)

$x_i \in V$ に対し、 Gx_i が good orbit であつ

$$\frac{\text{tr}_{\mathfrak{a}_{Gx_i}} A}{\text{tr}_V A} \quad (A \in \mathfrak{a}_{Gx_i}, \text{tr} A \neq 0)$$

の値が一定ならば b -多項式 $b(S)$ は

$$\left(S + \frac{\dim V}{\deg f} \cdot \frac{\text{tr}_V A + \text{tr}_{\mathfrak{a}_{Gx_i}} A}{\text{tr}_V A} \right) \text{なる因子をもつ。ただし}$$

\mathfrak{a}_{x_i} は x_i における isotropy subalgebra, $\text{tr}_{\mathfrak{a}_{Gx_i}} A$ は \mathfrak{a}_{x_i} の adjoint 表現の trace.

定理2 (佐藤)

$b(S)$ が $S + \alpha$ で割り切れるならば $S + \frac{\dim V}{\deg f} + 1 - \alpha$ でも割り切れる。

1. 準備

K を標数 0 の代数閉体.

$$G = SL(5) \times GL(4)$$

V^5 を K 上の 5 次元ベクトル空間

$\{u_1, u_2, \dots, u_5\}$ を V^5 の base.

V_{\square}^5 を $u_i \wedge u_j$ ($1 \leq i < j \leq 5$) の張る K 上の 10 次元ベクトル空間.

$$V = V_{\square}^5 \oplus V_{\square}^5 \oplus V_{\square}^5 \oplus V_{\square}^5 \text{ とする.}$$

このとき G が V に induce する表現が $SL(5) \times GL(4)$ であり、 $G \ni (A, B)$ ($A \in SL(5), B \in GL(4)$) が V に属する点.

$X = (x_1, x_2, x_3, x_4)$ ($x_i \in V_{\square}^5$) に対する作用は $(x_1, x_2, x_3, x_4) \mapsto (Ax_1, Ax_2, Ax_3, Ax_4)^t B$ である.

以上によって $SL(5) \times GL(4)$ は $GL(9)$ の部分群.

$$\left\{ \begin{array}{c|c} \begin{matrix} a_{11} & a_{12} & a_{13} & a_{14} & a_{15} \\ a_{21} & a_{22} & a_{23} & a_{24} & a_{25} \\ a_{31} & a_{32} & a_{33} & a_{34} & a_{35} \\ a_{41} & a_{42} & a_{43} & a_{44} & a_{45} \\ a_{51} & a_{52} & a_{53} & a_{54} & a_{55} \end{matrix} & \begin{matrix} 0 \\ 0 \\ 0 \\ 0 \\ 0 \end{matrix} \\ \hline \begin{matrix} 0 & 0 & 0 & 0 \\ 0 & 0 & 0 & 0 \\ 0 & 0 & 0 & 0 \\ 0 & 0 & 0 & 0 \end{matrix} & \begin{matrix} a_6 & a_7 & a_8 & a_9 \\ a_{16} & a_{17} & a_{18} & a_{19} \\ a_{26} & a_{27} & a_{28} & a_{29} \\ a_{36} & a_{37} & a_{38} & a_{39} \end{matrix} \end{array} \right\} \det \begin{bmatrix} a_{11} & a_{12} & a_{13} & a_{14} & a_{15} \\ a_{21} & a_{22} & a_{23} & a_{24} & a_{25} \\ a_{31} & a_{32} & a_{33} & a_{34} & a_{35} \\ a_{41} & a_{42} & a_{43} & a_{44} & a_{45} \\ a_{51} & a_{52} & a_{53} & a_{54} & a_{55} \end{bmatrix} = 1$$

$$\det \begin{bmatrix} a_6 & a_7 & a_8 & a_9 \\ a_{16} & a_{17} & a_{18} & a_{19} \\ a_{26} & a_{27} & a_{28} & a_{29} \\ a_{36} & a_{37} & a_{38} & a_{39} \end{bmatrix} \neq 0 \quad \text{---(1)}$$

が $GL(9)$ の部分空間で $u_i \wedge u_j \wedge u_k$ ($1 \leq i < j \leq 5, k = 6, 7, 8, 9$) で張られる空間に induce する表現と同値であるので、以下では口述の便宜上、 G は (1) の形で、また V の元は

$\sum_{k=6}^9 \left\{ \sum_{1 \leq i < j \leq 5} a_{ijk} (u_i \wedge u_j) \right\} \wedge u_k$ の形で表わすことにする。

2. $SL_{\square}(5) \times_{\otimes} GL_{\square}(4)$ の holonomy diagram

$SL_{\square}(5) \times_{\otimes} GL_{\square}(4)$ の orbital decomposition は全く未解決であるので、その holonomy diagram を既知の orbits の conormal bundle を用いて構成することはできない。そこで、まず、codim 1 の orbit の dual と考えられる orbit の generic point x_i をとり、その conormal vector space $V_{x_i}^*$ の generic point y_i を求めて、これが codim 1 の orbit に属するかどうかを調べる。

codim 1 の orbit の dual の generic point と考えられる点としては、 $GL_{\square}(8)$ や $SL_{\square}(5) \times_{\otimes} GL_{\square}(3)$ の場合から類推して $u_1 \wedge u_2 \wedge u_6$ とした。この点の isotropy subalgebra は式(2)に示す通りである。

a_1	a_{12}	a_{13}	a_{14}	a_{15}	} 0	
a_{21}	a_2	a_{23}	a_{24}	a_{25}		
0		a_3	a_{34}	a_{35}		
		a_{43}	a_4	a_{45}		
		a_{53}	a_{54}	a_5		
} 0					} 0	
						a_{67}
						a_7
						a_{87}
					a_8	
					a_{89}	
					a_{97}	
					a_{98}	
					a_9	

$a_1 + a_2 + a_3 + a_4 + a_5 = 0$
 $a_1 + a_2 + a_6 = 0$

----- (2)

これによって $u_1 \wedge u_2 \wedge u_6$ の属する orbit の codim は 30 であることが知られる。よって、この点を以下 x_{30} 、また orbit Gx_{30} に対応する holonomy manifold を ③①、isotropy subgroup を $G_{x_{30}}$ 、isotropy subalgebra を $\mathfrak{of}_{x_{30}}$ 、conormal vector space

(3)

○

WI, Q34-Q35	Q399	0	0	Q979	0	0	Q49	0	0	0	Q49	0	0	Q43	WI, Q45
Q49	WI2	Q45	0	Q499	0	0	Q979	0	0	Q49	0	0	Q43	WI, Q45	
-Q453	Q54	WI3	0	Q499	0	0	Q49	0	0	Q49	0	0	Q43	WI, Q45	
Q498	0	0	WI4	Q34	Q35	Q98	0	0	Q49	0	0	Q49	Q43	WI, Q45	
0	Q498	0	Q45	WI5	Q45	0	0	Q49	0	0	Q49	0	Q43	WI, Q45	
0	0	Q498	-Q453	Q54	WI6	0	0	Q49	0	0	Q49	0	Q43	WI, Q45	
Q497	0	0	Q497	0	0	WI7	Q34	Q35	Q49	0	0	Q49	Q43	WI, Q45	
0	Q497	0	Q497	0	0	Q43	WI8	Q45	Q49	0	0	Q49	Q43	WI, Q45	
0	0	Q497	0	0	0	WI9	Q34	Q35	Q49	0	0	Q49	Q43	WI, Q45	

WI6	Q43	Q35	Q49	0	0	Q49	0	0	Q49	0	0	0	0	0	Q49	0	0	0
Q34	WI4	Q24	0	Q49	0	0	Q49	0	0	Q49	0	0	0	0	Q49	0	0	0
Q35	Q45	WI5	0	Q49	0	0	Q49	0	0	Q49	0	0	0	0	Q49	0	0	0
Q498	0	0	WI6	Q43	Q35	Q49	0	0	Q49	0	0	0	0	Q49	0	0	0	0
0	Q498	0	Q34	WI7	Q49	0	Q49	0	0	Q49	0	0	0	Q49	0	0	0	0
0	0	Q498	Q35	Q45	WI8	0	0	Q49	0	0	0	0	0	Q49	0	0	0	0
Q497	0	0	Q49	0	0	WI9	Q43	Q35	Q49	0	0	0	0	Q49	0	0	0	0
0	Q497	0	Q49	0	0	Q34	WI10	Q35	Q49	0	0	0	0	Q49	0	0	0	0
0	0	Q497	Q49	0	0	Q35	Q45	WI11	Q45	0	0	0	0	Q49	0	0	0	0
Q492	0	0	Q492	0	0	Q492	0	0	Q492	0	0	0	0	Q492	0	0	0	0
0	0	Q492	0	0	Q492	0	0	Q492	0	0	0	0	0	Q492	0	0	0	0
0	0	Q492	0	0	Q492	0	0	Q492	0	0	0	0	0	Q492	0	0	0	0

WI10	Q34	Q35	Q49	0	0	0	0	0	0	0	0	0	0	0	0	0	0	0
Q43	WI11	Q45	0	0	0	0	0	0	0	0	0	0	0	0	0	0	0	0
-Q453	Q57	WI2	0	0	0	0	0	0	0	0	0	0	0	0	0	0	0	0

0	-Q45	Q44	0	0	0	0	0	0	0	0	0	0	0	0	0	0	0	0
0	Q44	0	Q43	0	0	0	0	0	0	0	0	0	0	0	0	0	0	0
0	-Q44	Q43	0	0	0	0	0	0	0	0	0	0	0	0	0	0	0	0
0	-Q45	Q44	0	0	0	0	0	0	0	0	0	0	0	0	0	0	0	0
0	-Q45	Q43	0	0	0	0	0	0	0	0	0	0	0	0	0	0	0	0
0	-Q44	Q43	0	0	0	0	0	0	0	0	0	0	0	0	0	0	0	0

0	-Q25	Q24	0	0	0	0	0	0	0	0	0	0	0	0	0	0	0	0
0	Q25	0	Q23	0	0	0	0	0	0	0	0	0	0	0	0	0	0	0
0	-Q24	Q23	0	0	0	0	0	0	0	0	0	0	0	0	0	0	0	0
0	-Q25	Q24	0	0	0	0	0	0	0	0	0	0	0	0	0	0	0	0
0	-Q25	0	Q23	0	0	0	0	0	0	0	0	0	0	0	0	0	0	0
0	-Q24	Q23	0	0	0	0	0	0	0	0	0	0	0	0	0	0	0	0

0	-Q25	Q24	0	0	0	0	0	0	0	0	0	0	0	0	0	0	0	0
0	Q25	0	Q23	0	0	0	0	0	0	0	0	0	0	0	0	0	0	0
0	-Q24	Q23	0	0	0	0	0	0	0	0	0	0	0	0	0	0	0	0
0	-Q25	Q24	0	0	0	0	0	0	0	0	0	0	0	0	0	0	0	0
0	-Q25	0	Q23	0	0	0	0	0	0	0	0	0	0	0	0	0	0	0
0	-Q24	Q23	0	0	0	0	0	0	0	0	0	0	0	0	0	0	0	0

WI12	Q43	Q35	Q49	0	0	Q49	0	0	Q49	0	0	0	0	Q49	0	0	0	0
Q34	WI23	Q34	0	Q49	0	0	Q49	0	0	Q49	0	0	0	Q49	0	0	0	0
Q35	Q45	WI24	0	Q49	0	0	Q49	0	0	Q49	0	0	0	Q49	0	0	0	0
Q498	0	0	WI25	Q43	Q35	Q49	0	0	Q49	0	0	0	0	Q49	0	0	0	0
0	Q498	0	Q34	WI26	Q34	0	0	Q49	0	0	0	0	0	Q49	0	0	0	0
0	0	Q498	Q35	Q44	WI27	0	0	Q49	0	0	0	0	0	Q49	0	0	0	0
Q497	0	0	Q49	0	0	Q49	0	0	Q49	0	0	0	0	Q49	0	0	0	0
0	Q497	0	0	0	Q49	0	0	Q49	0	0	0	0	0	Q49	0	0	0	0
0	0	Q497	0	0	Q49	0	0	Q49	0	0	0	0	0	Q49	0	0	0	0
Q35	Q45	WI30	0	0	0	0	0	0	0	0	0	0	0	0	0	0	0	0

6

V_{x30}^* の base

$$W_1 = -E_3 + E_9 - 4\alpha + \beta$$

$$W_2 = -E_4 + E_9 - 4\alpha + \beta$$

$$W_3 = E_3 + E_4 + E_9 - 4\alpha + \beta$$

$$W_4 = -E_3 + E_8 - 4\alpha + \beta$$

$$W_5 = -E_4 + E_8 - 4\alpha + \beta$$

$$W_6 = E_3 + E_4 + E_8 - 4\alpha + \beta$$

$$W_7 = -E_3 - E_8 - E_9 - 4\alpha + \beta$$

$$W_8 = -E_4 - E_8 - E_9 - 4\alpha + \beta$$

$$W_9 = E_3 + E_4 - E_8 - E_9 - 4\alpha + \beta$$

$$W_{10} = -E_3 - 10\alpha$$

$$W_{11} = -E_4 - 10\alpha$$

$$W_{12} = E_3 + E_4 - 10\alpha$$

$$W_{13} = E_1 + E_3 - E_8 - E_9 + \alpha + \beta$$

$$W_{14} = E_1 + E_4 - E_8 - E_9 + \alpha + \beta$$

$$W_{15} = E_1 - E_3 - E_4 - E_8 - E_9 + \alpha + \beta$$

$$W_{16} = E_1 + E_3 + E_8 + \alpha + \beta$$

$$W_{17} = E_1 + E_4 + E_8 + \alpha + \beta$$

$$W_{18} = E_1 - E_3 - E_4 + E_8 + \alpha + \beta$$

$$W_{19} = E_1 + E_3 + E_9 + \alpha + \beta$$

$$W_{20} = E_1 + E_4 + E_9 + \alpha + \beta$$

$$W_{21} = E_1 - E_3 - E_4 + E_9 + \alpha + \beta$$

$$W_{22} = -E_1 + E_3 - E_8 - E_9 + \alpha + \beta$$

$$W_{23} = -E_1 + E_4 - E_8 - E_9 + \alpha + \beta$$

$$W_{24} = -E_1 - E_3 - E_4 - E_8 - E_9 + \alpha + \beta$$

$$W_{25} = -E_1 + E_3 + E_8 + \alpha + \beta$$

$$W_{26} = -E_1 + E_4 + E_8 + \alpha + \beta$$

$$W_{27} = -E_1 - E_3 - E_4 + E_8 + \alpha + \beta$$

$$W_{28} = -E_1 + E_3 + E_9 + \alpha + \beta$$

$$W_{29} = -E_1 + E_4 + E_9 + \alpha + \beta$$

$$W_{30} = -E_1 - E_3 - E_4 + E_9 + \alpha + \beta$$

$$U_4 \wedge U_5 \wedge U_9$$

$$U_3 \wedge U_5 \wedge U_9$$

$$U_3 \wedge U_4 \wedge U_9$$

$$U_4 \wedge U_5 \wedge U_8$$

$$U_3 \wedge U_5 \wedge U_8$$

$$U_8 \wedge U_4 \wedge U_8$$

$$U_4 \wedge U_5 \wedge U_7$$

$$U_3 \wedge U_5 \wedge U_7$$

$$U_3 \wedge U_4 \wedge U_7$$

$$U_4 \wedge U_5 \wedge U_6$$

$$U_3 \wedge U_5 \wedge U_6$$

$$U_3 \wedge U_4 \wedge U_6$$

$$U_1 \wedge U_3 \wedge U_7$$

$$U_1 \wedge U_4 \wedge U_7$$

$$U_1 \wedge U_5 \wedge U_7$$

$$U_1 \wedge U_3 \wedge U_8$$

$$U_1 \wedge U_4 \wedge U_8$$

$$U_1 \wedge U_5 \wedge U_8$$

$$U_1 \wedge U_3 \wedge U_9$$

$$U_1 \wedge U_4 \wedge U_9$$

$$U_1 \wedge U_5 \wedge U_9$$

$$U_2 \wedge U_3 \wedge U_7$$

$$U_2 \wedge U_4 \wedge U_7$$

$$U_2 \wedge U_5 \wedge U_7$$

$$U_2 \wedge U_3 \wedge U_8$$

$$U_2 \wedge U_4 \wedge U_8$$

$$U_2 \wedge U_5 \wedge U_8$$

$$U_2 \wedge U_3 \wedge U_9$$

$$U_2 \wedge U_4 \wedge U_9$$

$$U_2 \wedge U_5 \wedge U_9$$

を $V_{x_{30}}^*$ と記す。他の orbit に属する点についても同様とする。(codim の等しい互いに異なる orbit については、' をつけて区別する。)

$V_{x_{30}}^*$ の base と、これにおける $\mathfrak{g}_{x_{30}}$ の image は (3) に示す通りである。これによれば $G_{x_{30}}^*$ と $V_{x_{30}}^*$ は概均質で、その generic point は

$$U_4 \wedge U_5 \wedge U_6 + (U_1 \wedge U_3 + U_2 \wedge U_5) \wedge U_7 + (U_1 \wedge U_4 + U_2 \wedge U_3) \wedge U_8 + (U_1 \wedge U_5 + U_2 \wedge U_4) \wedge U_9$$

である。この isotropy subalgebra は

$$\left[\begin{array}{ccccccc} 3t & & & & & & \\ & 3t & & & & & \\ & & -2t & & & & 0 \\ & & & -2t & & & \\ 0 & & & & 2t & & \\ & & & & & 4t & \\ & & & & & & t \\ & & & & & & & -t \\ & & & & & & & & -t \end{array} \right] \quad \text{--- (4)}$$

(4) であり、従ってこの点は codim 1 の orbit に属する。これによって、holonomy diagram の最上位には ①、次に ①、また最下位には ④①

その上に ③① が位置することが確定した。

$(G_{x_{30}}^*, V_{x_{30}}^*)$ の codim 1 の点としては、互いに異なる orbit に属する点として、 $(U_4 \wedge U_5 + U_3 \wedge U_4) \wedge U_6 + U_1 \wedge U_3 \wedge U_7 + (U_1 \wedge U_4 + U_2 \wedge U_3) \wedge U_8 + U_2 \wedge U_5 \wedge U_9$ および $(U_4 \wedge U_5 + U_3 \wedge U_5) \wedge U_6 + (U_1 \wedge U_3 + U_3 \wedge U_4 + U_2 \wedge U_3) \wedge U_7 + U_1 \wedge U_4 \wedge U_8 + (U_2 \wedge U_5 + U_3 \wedge U_4) \wedge U_9$ がとれる。これらの属する orbits の codim はいずれも 2 である。よって、前者を x_2 、後者を x_2' と記すことにする。これらの dual は $V_{x_2}^*$ および $V_{x_2'}^*$ の generic points で、codim 24 と 21 である。

HOLONOMY DIAGRAM

for the relative invariant of

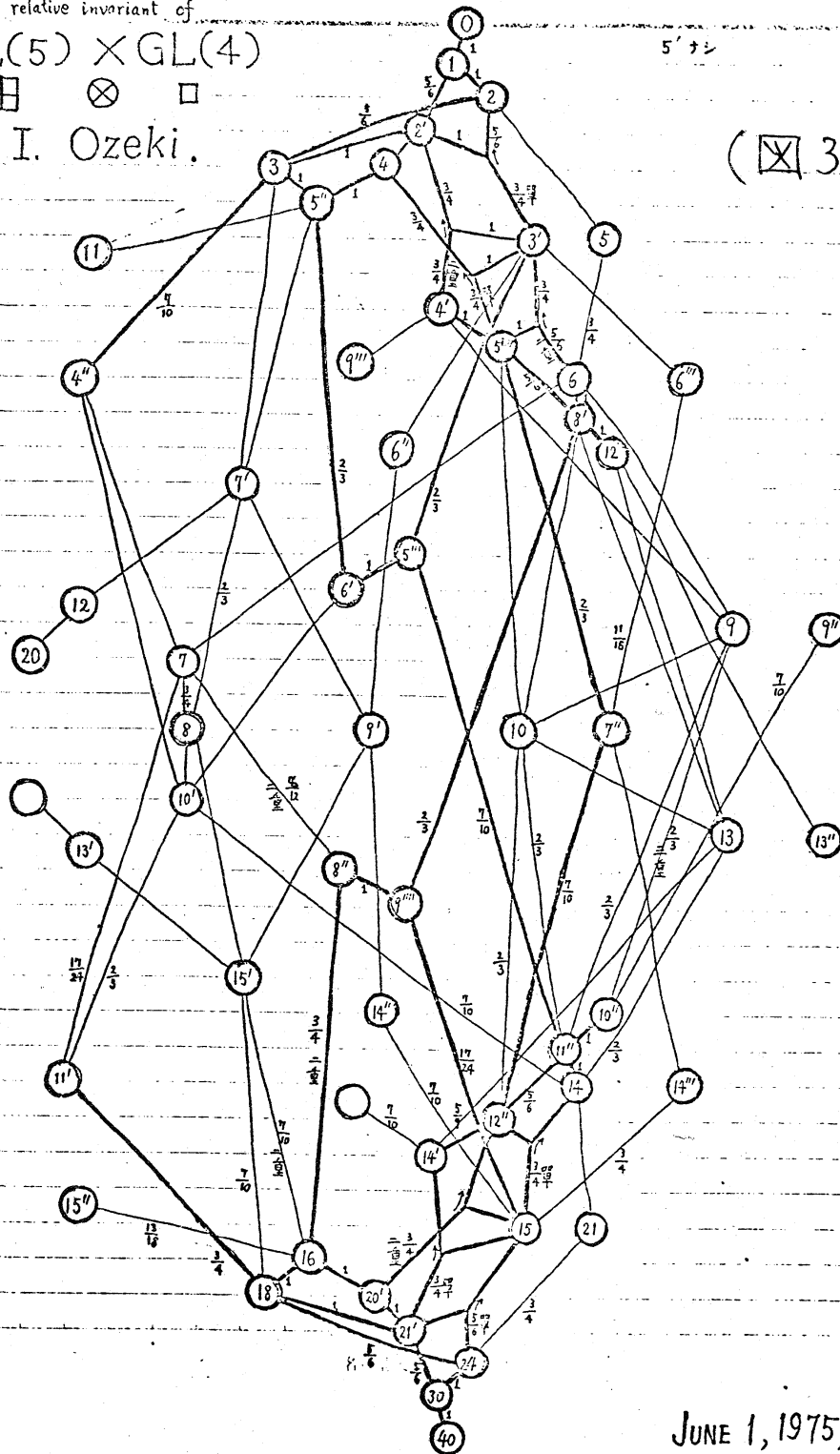
$$SL(5) \times GL(4)$$

$\square \otimes \square$

by I. Ozeki.

5' ナシ

($\square \otimes 3$)



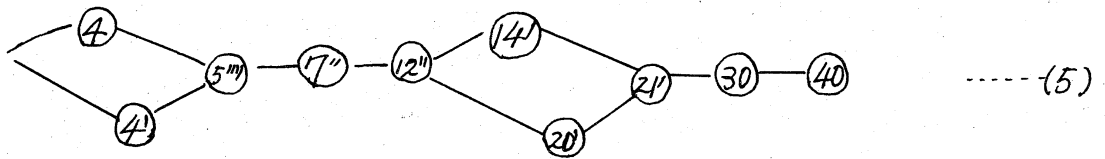
JUNE 1, 1975, NAGOYA

とじ=2を参照せよ

ること加と同様の方法で知られる。これによつて holonomy diagram の ①の下に② および ③、③の上に④ ⑤ (図3の中では⑥とした) が位置づけられる。以上の操作を反復して得られたのが図3である。

3. holonomy diagram の考察

$SL(5) \times GL(4)$ の holonomy diagram は ①—②—③



という経路で ①と④が結ばれている。この経路は通過する holonomy manifold とそれらの交わりが全て G prehomogeneous になっている唯一の経路である。従つて b -多項式の因子がこの経路から求められるのではないかと期待されるが、

⑤—⑦の間と、⑦—⑫の間には従来 b -多項式の因子を求める公式は全く適用できない。もっとも、⑫を見ると $G_{x_{12}}$ が $SL(3) \times GL(2)$ になっており、 $(G_{x_{12}}^*, V_{x_{12}}^*)$ は $SL(3) \times GL(2)$ と、正則概均質になっている。

「一般に holonomy diagram 中に正則概均質な conormal vector space をもつ manifold があるとき、それより上に現われる subdiagram は、その正則概均質ベクトル空間の holonomy diagram に一致する」という事実が知られているが実際、今回も ①と②の間の subdiagram は $SL(3) \times GL(2)$ の

holonomy diagram に一致している。従ってこの部分には
図3に記した因子が対応する。よって(5)の経路のうち、

および、その dual の部分に対応
する b -多項式の 因子はそれぞれ $(S+1)^3(S+\frac{3}{4})^2$
 $(S+\frac{5}{4})^2(S+\frac{5}{6})(S+\frac{7}{6})$ である。

従って b -多項式の因子を全て決定することは、 $(5''-7'')$
および、その dual の間のそれぞれ 11 個の因子を決定すること
に帰着する。もっとも $(5''-8')$ および、その dual の部分に
それぞれ $(S+\frac{5}{6})(S+\frac{7}{6})$ が対応しているので、 $(5''-7'')$ お
よび、その dual の部分にそれぞれこの 2 個の因子が含まれて
いなければならない。また更に $(4'')$, $(5'')$, $(8'')$ は それから上に
のびる線がいずれも一本ずつになっており、このことは、ま
た加さ註1に記した定理1の $\frac{\text{tr}_{\text{adj}^2 A}}{\text{tr}^2 A}$ の値が一定であるこ
とを示しているので、これから $(S+\frac{7}{10})$, $(S+\frac{2}{3})$ などの因
子の存在が期待される。そこで $(3)-(4'')$, $(3)-(5'')$ および $(7)-(8'')$
の間の因子を調べる必要があるが、現在ではこれに好都合な
簡単な方法は見つかっていない。ただ、相対不変式 $f(x)$ の
 $(4'')$, $(5'')$ などにおける localization をそれぞれ計算し、それら
に対応する b -多項式の因子を算出することが考えられる。
さいわい $(4'')$ の localization は $\mathcal{O}_{x_{4''}}^*$ の $V_{x_{4''}}^*$ における image か
ら、 Γ 2元5次式 $\sum_{i=0}^5 \binom{5}{i} x_i u^{5-i} v^i$ の判別式において $x_0=1$

$x_1 = 0$ とおいたものに等しい」という事実が 最近の
佐藤先生と矢野氏の研究によって明らかになった。このあた
りに問題解決の糸口が得られることが期待されている。

$\sigma_{x_{4''}}$ の $V_{x_{4''}}^*$ における image

$$\left\{ \begin{bmatrix} 5t & 5a_{31} & \frac{5}{2}a_{21} & -5a_{41} \\ & 4t & -4a_{31} & -2a_{21} \\ & 0 & 3t & -3a_{31} \\ & & & 2t \end{bmatrix} \right\} \quad \text{--- (6)}$$

$\sigma_{x_{5'''}}$ の $V_{x_{5'''}}^*$ における image

$$\left\{ \begin{bmatrix} 6a_4 & a_{53} & 3a_{51} & -2a_{32} & -3a_{52} \\ & 5a_4 & a_{53} & a_{51} & -a_{32} \\ & & 4a_4 & 3a_{53} & 2a_{51} \\ & 0 & & 3a_4 & 4a_{53} \\ & & & & 2a_4 \end{bmatrix} \right\} \quad \text{--- (7)}$$

holonomy diagramによる b -多項式の求め方

1. holonomy diagram のつくり方

概均値ベクトル空間 (G, V) の各 orbit Gx_i に対し、その conormal bundle $T_{Gx_i}^*V \stackrel{\text{def}}{=} \{(x, y) \mid x \in Gx_i, y \in V_x^*\} \subset V \times V^*$ (V^* は V の dual space, V_x^* は orbit Gx_i の点 x における conormal vector space) をとり、それぞれに次のように conormal bundles を対応させる。すなわち orbit Gx_i に conormal bundle $T_{Gx_i}^*V$ で対応する V^* の orbit G^*y_i をとり、これを V の orbit Gx_i と同一視する。そして、 Gx_i の conormal vector space $V_{x_i}^*$ をとり、 $(Gx_i, V_{x_i}^*)$ の codim. 1 の各 singular set S_j の generic point y_j を求める。各 y_j について、それが属する (G^*, V^*) の orbit を求め、それを (G, V) の orbit と見なし、 $T_{Gx_i}^*V$ の下にその conormal bundle $T_{Gy_j}^*V$ を置き、 $T_{Gx_i}^*V$ と線でつなぐ。

以上の操作によって得られる diagram を holonomy diagram といい、各 conormal bundle を holonomy manifold とよぶ。

2. holonomy diagram による b -多項式の求め方.

(1) holonomy manifold の order

各 holonomy manifold に $-\delta X(A)S - \text{tr}_{V_{x_i}^*} A_0 + \frac{1}{2} \dim V_{x_i}^*$

(但し $A_0 \in \mathcal{O}_{X_i}$, $-{}^t A_0 y_i = y_i$, y_i は $V_{X_i}^*$ の generic point, δX は (G, V) の既約な相対不変多項式の character) なる量を対応させる。これを、その holonomy manifold の order といい。

(2) $m:n$ なる比。

$(G_{X_i}, V_{X_i}^*)$ の codim. 1 の各 singular set S_j から、その generic point y_j をとり、 $A_1 \in \mathcal{O}_{X_i}$ で $-{}^t A_1 y_j = y_j$ となる A_1 をとる。 $\mathcal{O}_{X_i} y_j$ に属さない元 y をとり、 $A_1 y$ を mod. $\mathcal{O}_{X_i} y_j$ で考えると、スカラー倍となるから、そのスカラーを a とする。

$$A_1 y \equiv a y \pmod{\mathcal{O}_{X_i} y_j}$$

ここで $a = \frac{m}{m+n}$ なる等式をみたす互いに素なる自然数 m, n が存在するとき、その比 $m:n$ を考える。holonomy manifold $T_{G_{X_i}}^* V$ のすぐ上に、 y_j を $(G_{X_j}, V_{X_j}^*)$ の generic point とする holonomy manifold $T_{G_{X_j}}^* V$ が存在する。 $m:n$ なる比をこの二つの holonomy manifold を結ぶ線に対応させる。

(3) order と m, n による b -多項式の因子の決定。

holonomy diagram の線は、これによって結ばれる二つの holonomy manifolds の間に codim. 1 の交わりがあることを意味する。1 の方法では、二つの holonomy manifolds

の間の交わりしか見いだせないが、三つ以上の holonomy manifolds が交わることもある。holonomy manifolds の交わり方が 次の場合について、その交わりに対応する b -多項式の因子を order と $m:n$ を用いて決定することが出来る。

(i) 二つだけが交わる場合

holonomy manifold Λ_0 の上に Λ_1 があり、線をつなかれているものとする。 Λ_0 の一つの相対不変式の character を SP_1 , order を $-m_0 s - \frac{\mu_0}{2}$, Λ_1 の order を $-m_1 s - \frac{\mu_1}{2}$. Λ_0 と Λ_1 の間の線に $m:n$ なる比に対応しているものとする。

Λ_0 に関する相対不変式の character が

$$-S\chi = C_1 SP_1 + \dots \quad (C_1 \text{ は整数})$$

$$\text{tr}_{V_{\Lambda_0}}^* = a_1 SP_1 + \dots \quad (a_1 \text{ は半整数}) \text{ となっているとき}$$

(a) 交わりが transversal な場合

(2) における a が不定のとき、交わりは transversal となる。

$$C_1 = m_0 - m_1, \quad a_1 = \frac{\mu_0 - \mu_1 + 1}{2} \text{ なる関係が成り立つ。このとき}$$

$\Lambda_0 - \Lambda_1$ の間の b -多項式の因子 $b_{\Lambda_0}(s)$ は

$$b_{\Lambda_0}(s) = \left[(m_0 - m_1)s + \frac{\mu_0 - \mu_1 + 1}{2} \right]^{(m_0 - m_1)} \quad [\alpha]^m = \frac{\Gamma(\alpha + m)}{\Gamma(\alpha)}$$

(m は整数)


(b) 交わりが transversal でない場合

$$C_1 = \frac{(m_0 - m_1)(n + m)}{n + 1}, \quad a_1 = \frac{1}{2} \left\{ m + \frac{(\mu_0 - \mu_1)(n + m)}{n + 1} \right\}$$

なる関係が成り立つ。このとき、 $\Delta_0 - \Delta_1$ の間に

$$b_{\Delta_0}(s) = \prod_{k=0}^n \left[ls + \frac{a_1 + k}{m+n} \right]^l, \text{ 但し } l = \frac{m_0 - m_1}{n+1} = \frac{c_1}{n+m} \in \mathbb{Z}$$

(ii) 三つが交わる場合.

holonomy manifolds $\Delta_0, \Delta_1, \Delta_2$ が  のように交わる ($\Delta_0 - \Delta_1$ の交わりは transversal, Δ_2 が $\Delta_0 - \Delta_1$ と交わりに接する) 場合.

Δ_j の order を $-m_j s - \frac{\mu_j}{2}$, $j = 0, 1, 2$.

$\Delta_0 - \Delta_1$ の交わりに $m:n$ の比が対応する。このとき.

$$l_0 = \frac{(1+m)m_0 - m_1 - mm_2}{mn + m + n} \in \mathbb{Z}$$

$$l_1 = \frac{m_0 + nm_2 - (1+n)m_1}{mn + m + n} \in \mathbb{Z}$$

$$l_2 = \frac{(m+n)m_2 - mm_0 - nm_1}{mn + m + n} \in \mathbb{Z} \text{ とする。このとき}$$

$\Delta_1 - \emptyset$ の間に

$$\prod_{v=0}^{m-1} \left[l_1 s + \frac{\mu_0 + n\mu_2 - (1+n)\mu_1}{2(mn + m + n)} + \frac{1+n+2v}{2(m+n)} \right]^{l_1}$$

$\emptyset - \Delta_0$ の間に

$$\prod_{v=0}^{n-1} \left[l_0 s + \frac{(1+m)\mu_0 - \mu_1 - m\mu_2}{2(mn + m + n)} + \frac{1+m+2v}{2(m+n)} \right]^{l_0}$$

$\Delta_2 - \emptyset$ の間に

$$\left[l_2 s + \frac{(m+n)\mu_2 - \mu_0 - n\mu_1}{2(mn + m + n)} + \frac{1}{2} \right]^{l_2}$$

が対応する。

(4) 以上のように、 b -多項式の因子が対応した holonomy diagram の線を最上位から最下位まで辿り、対応する因子の積をつくれば、道筋に因縁なく、その積が b -多項式となる。

1975. 8. 15

$SL(5) \times GL(4)$ の orbits の generic point.

$U_i \wedge U_j \wedge U_k \in$ 以下 $\langle i, j, k \rangle$ と記す。 \sim は G -equivalent
 $n.ph$ (is not prehomogeneous)

- ① $\langle 2, 4, 6 \rangle + \langle 3, 5, 6 \rangle + \langle 1, 3, 7 \rangle + \langle 4, 5, 7 \rangle + \langle 2, 5, 8 \rangle + \langle 3, 4, 8 \rangle + \langle 1, 4, 9 \rangle + \langle 2, 3, 9 \rangle$
 $\sim \langle 1, 2, 6 \rangle + \langle 3, 4, 6 \rangle + \langle 2, 3, 7 \rangle + \langle 4, 5, 7 \rangle + \langle 1, 3, 8 \rangle + \langle 2, 5, 8 \rangle + \langle 2, 4, 9 \rangle$
 $+ \langle 3, 5, 9 \rangle$ 40 次元. [39次元]
- ① $\langle 4, 5, 6 \rangle + \langle 1, 3, 7 \rangle + \langle 2, 5, 7 \rangle + \langle 1, 4, 8 \rangle + \langle 2, 3, 8 \rangle + \langle 1, 5, 9 \rangle + \langle 2, 4, 9 \rangle$
- ② $\langle 4, 5, 6 \rangle + \langle 3, 4, 6 \rangle + \langle 1, 3, 7 \rangle + \langle 1, 4, 8 \rangle + \langle 2, 3, 8 \rangle + \langle 2, 5, 9 \rangle$ 38次元
- ② $\langle 4, 5, 6 \rangle + \langle 3, 5, 6 \rangle + \langle 1, 3, 7 \rangle + \langle 2, 3, 7 \rangle + \langle 1, 4, 8 \rangle + \langle 2, 5, 9 \rangle + \langle 3, 4, 9 \rangle$
 $\sim \langle 2, 3, 6 \rangle + \langle 1, 3, 7 \rangle - \langle 4, 5, 7 \rangle + \langle 2, 5, 8 \rangle + \langle 3, 4, 8 \rangle + \langle 1, 4, 9 \rangle - \langle 3, 5, 9 \rangle$ 38次元
- ③ $\langle 4, 5, 6 \rangle + \langle 1, 5, 7 \rangle + \langle 3, 4, 7 \rangle + \langle 2, 3, 8 \rangle + \langle 2, 4, 9 \rangle - \langle 1, 3, 9 \rangle$ 37次元
- ③ $\langle 1, 5, 6 \rangle + \langle 1, 3, 7 \rangle + \langle 4, 5, 7 \rangle + \langle 2, 5, 8 \rangle + \langle 3, 4, 8 \rangle + \langle 1, 4, 8 \rangle + \langle 2, 3, 9 \rangle$ 37次元
- ④ $\langle 4, 5, 6 \rangle + \langle 1, 5, 7 \rangle + \langle 1, 4, 8 \rangle + \langle 2, 3, 8 \rangle + \langle 2, 4, 9 \rangle - \langle 1, 3, 9 \rangle$ 36次元
- ④ $\langle 4, 5, 6 \rangle + \langle 1, 5, 7 \rangle + \langle 3, 4, 7 \rangle + \langle 2, 3, 8 \rangle + \langle 1, 4, 9 \rangle + \langle 2, 5, 9 \rangle$ 36次元
- ④' $\langle 2, 5, 6 \rangle + \langle 2, 4, 7 \rangle + \langle 3, 5, 7 \rangle - \langle 1, 5, 8 \rangle - \langle 3, 4, 8 \rangle + \langle 1, 4, 9 \rangle - \langle 2, 3, 9 \rangle$ 36次元
- ⑤ $\langle 1, 5, 6 \rangle + \langle 3, 4, 6 \rangle + \langle 1, 3, 7 \rangle + \langle 4, 5, 7 \rangle + \langle 1, 4, 8 \rangle + \langle 3, 5, 8 \rangle + \langle 2, 5, 9 \rangle$ 35次元 $n.ph$
- ⑤' $\langle 3, 5, 6 \rangle + \langle 1, 3, 7 \rangle + \langle 2, 4, 8 \rangle + \langle 1, 4, 9 \rangle + \langle 1, 5, 9 \rangle + \langle 2, 3, 9 \rangle$ 35次元. 最初(5''')
 $\leq U_i \wedge U_j$
- ⑤'' $\langle 4, 5, 6 \rangle + \langle 1, 3, 7 \rangle + \langle 1, 4, 8 \rangle + \langle 2, 5, 8 \rangle + \langle 2, 3, 9 \rangle$ 35次元
- ⑤''' $\langle 3, 5, 6 \rangle + \langle 1, 3, 7 \rangle - \langle 4, 5, 7 \rangle + \langle 2, 5, 8 \rangle + \langle 3, 4, 8 \rangle + \langle 1, 4, 9 \rangle + \langle 2, 3, 9 \rangle$ 35次元
- ⑥ $\langle 1, 5, 6 \rangle + \langle 3, 5, 7 \rangle + \langle 4, 5, 7 \rangle + \langle 1, 4, 8 \rangle + \langle 2, 3, 9 \rangle$ 34次元
- ⑥' $\langle 3, 5, 6 \rangle + \langle 1, 3, 7 \rangle + \langle 1, 5, 8 \rangle + \langle 2, 4, 8 \rangle + \langle 1, 4, 9 \rangle + \langle 2, 3, 9 \rangle$ 34次元
- ⑥'' $\langle 1, 5, 6 \rangle + \langle 3, 5, 6 \rangle + \langle 1, 3, 7 \rangle + \langle 4, 5, 7 \rangle + \langle 2, 5, 8 \rangle + \langle 3, 4, 8 \rangle + \langle 1, 4, 9 \rangle$ 34次元 $n.ph$
- ⑥''' $\langle 1, 3, 6 \rangle - \langle 3, 5, 6 \rangle + \langle 1, 5, 7 \rangle + \langle 2, 5, 8 \rangle - \langle 3, 4, 8 \rangle - \langle 1, 4, 9 \rangle + \langle 2, 3, 9 \rangle$ 34次元 $n.ph$
- ⑦ $\langle 2, 5, 6 \rangle + \langle 2, 4, 7 \rangle + \langle 3, 5, 8 \rangle + \langle 1, 4, 9 \rangle - \langle 2, 3, 9 \rangle$ 33次元 $n.ph$
- ⑦' $\langle 3, 5, 6 \rangle + \langle 1, 5, 7 \rangle + \langle 2, 4, 8 \rangle + \langle 1, 4, 9 \rangle + \langle 2, 5, 9 \rangle$ 33次元 $n.ph$
- ⑦'' $\langle 1, 2, 6 \rangle + \langle 1, 3, 7 \rangle + \langle 2, 5, 8 \rangle + \langle 3, 4, 8 \rangle + \langle 1, 5, 9 \rangle + \langle 2, 4, 9 \rangle$
 $\sim \langle 3, 5, 6 \rangle + \langle 1, 3, 7 \rangle + \langle 1, 2, 8 \rangle + \langle 4, 5, 8 \rangle + \langle 1, 4, 9 \rangle + \langle 2, 3, 9 \rangle$ 33次元
- ⑦''' $\langle 1, 3, 7 \rangle - \langle 4, 5, 7 \rangle + \langle 2, 5, 8 \rangle + \langle 3, 4, 8 \rangle + \langle 1, 4, 9 \rangle + \langle 2, 3, 9 \rangle$ 33次元 $n.ph$
- ⑧ $\langle 2, 5, 6 \rangle + \langle 3, 4, 7 \rangle - \langle 1, 5, 8 \rangle + \langle 1, 4, 9 \rangle \sim \langle 2, 5, 6 \rangle + \langle 3, 4, 7 \rangle + \langle 2, 4, 8 \rangle + \langle 1, 5, 9 \rangle$
- ⑧' $\langle 2, 3, 6 \rangle + \langle 2, 5, 7 \rangle + \langle 2, 4, 8 \rangle + \langle 3, 5, 8 \rangle + \langle 1, 4, 9 \rangle$ 32次元

- ⑨ $\langle 3,5,7 \rangle + \langle 2,4,8 \rangle + \langle 1,4,9 \rangle + \langle 1,5,9 \rangle + \langle 2,3,9 \rangle$ 31次元 n.ph
 ⑩ $\langle 2,5,6 \rangle + \langle 1,3,7 \rangle + \langle 1,2,8 \rangle + \langle 2,4,9 \rangle + \langle 3,5,9 \rangle$ 31次元 n.ph
 ⑪ $\langle 1,2,6 \rangle + \langle 3,5,6 \rangle + \langle 1,3,7 \rangle + \langle 1,4,8 \rangle + \langle 2,3,8 \rangle + \langle 1,5,9 \rangle + \langle 3,4,9 \rangle$ 31次元 n.ph
 ⑫ $\langle 4,5,6 \rangle + \langle 1,4,7 \rangle + \langle 2,5,8 \rangle + \langle 3,4,9 \rangle + \langle 3,5,9 \rangle$ 31次元 n.ph
 ⑬ $\langle 2,5,7 \rangle + \langle 2,4,8 \rangle + \langle 3,5,8 \rangle + \langle 1,4,9 \rangle + \langle 2,3,9 \rangle$ 30次元 n.ph
 ⑭ $\langle 3,5,6 \rangle + \langle 2,5,7 \rangle + \langle 4,5,8 \rangle + \langle 1,4,9 \rangle + \langle 2,3,9 \rangle$ 29次元 n.ph
 ⑮ $\langle 2,3,6 \rangle + \langle 2,5,7 \rangle + \langle 3,5,8 \rangle + \langle 1,4,9 \rangle$ 28次元
 ⑯ $\langle 2,3,6 \rangle + \langle 2,4,7 \rangle - \langle 1,5,8 \rangle + \langle 1,2,9 \rangle$ 28次元 n.ph
 ⑰ $\langle 1,2,6 \rangle + \langle 1,3,7 \rangle + \langle 1,4,8 \rangle + \langle 1,5,9 \rangle$ 20次元 n.ph

Nov. 4 現在, 下記の orbits が追加された. 又, 上記 ⑨) と ⑩) が
 同一 orbit であることがわかった.

(全て not prehomogeneous)

- ⑧^{'''} $\langle 1,4,6 \rangle + \langle 2,5,6 \rangle + \langle 3,4,7 \rangle + \langle 1,5,7 \rangle + \langle 2,3,8 \rangle$ 32次元 codim 8
 ⑮^{''} $\langle 1,2,6 \rangle + \langle 1,3,7 \rangle + \langle 2,4,7 \rangle + \langle 3,4,8 \rangle$ 25次元 codim 15
 ⑱['] $\langle 1,4,7 \rangle + \langle 2,3,6 \rangle + \langle 1,5,6 \rangle$ 22次元 codim 18
 ⑳ $\langle 1,2,6 \rangle + \langle 1,3,7 \rangle + \langle 2,3,8 \rangle$ 18次元 codim 22
 ㉑ $\langle 1,3,6 \rangle + \langle 2,4,6 \rangle$ 13次元 codim 27
 ㉒^{''''} $\langle 1,3,6 \rangle + \langle 1,4,7 \rangle + \langle 1,5,8 \rangle + \langle 2,3,7 \rangle + \langle 2,4,8 \rangle + \langle 2,5,9 \rangle$ 34次元

$$\textcircled{8}^{''''*} = \textcircled{18}'$$

$$\textcircled{6}^{''''*} = \textcircled{22}$$

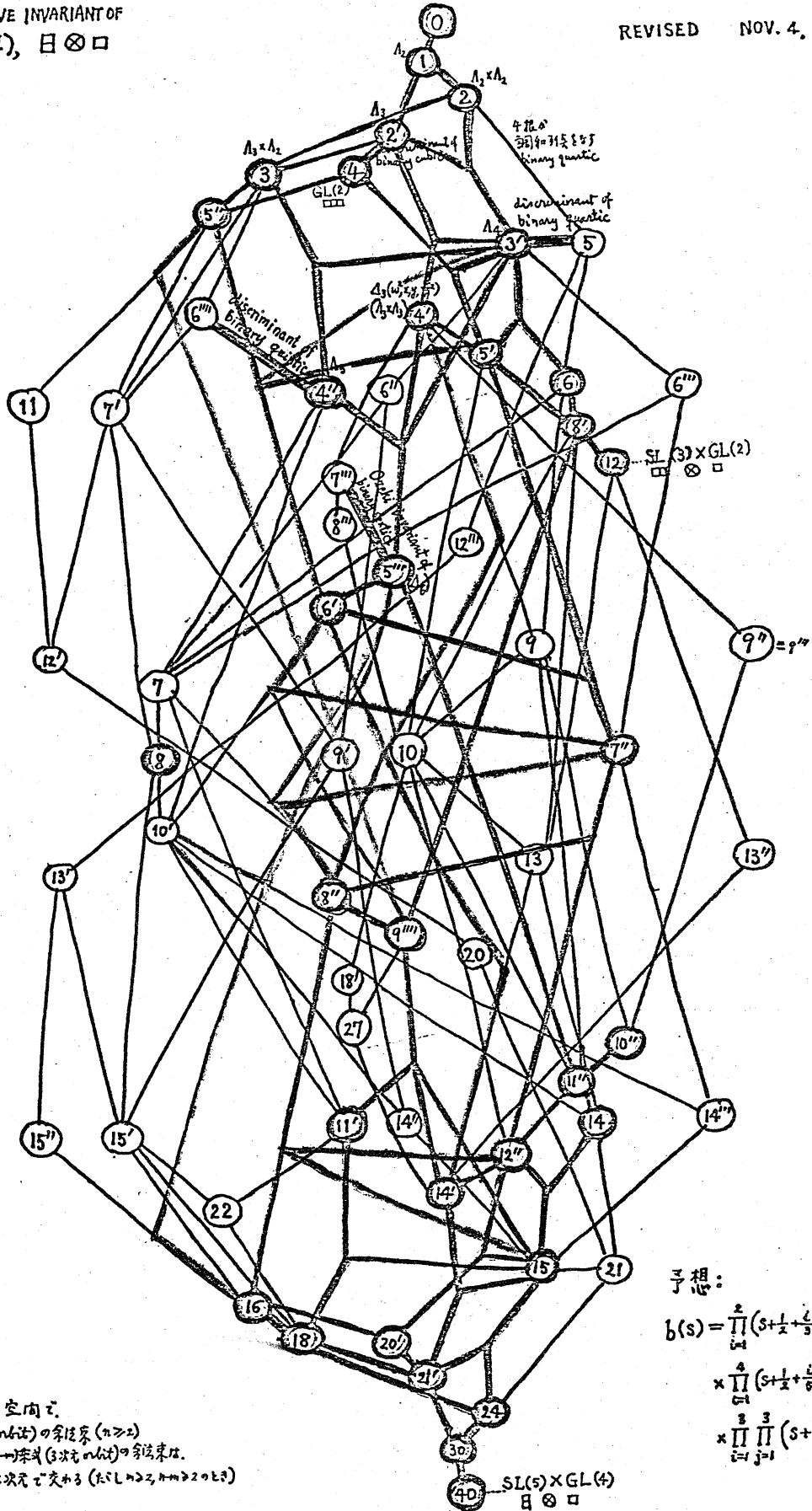
- (i^*) は (i) の dual.
- ? は generic point 不明.

- $(40) = (0^*)$ 0 40次元 codim 0
 $(30) = (1)$ $\langle 1, 2, 6 \rangle$ 10次元 codim 30
 $(24) = (2^*)$ $\langle 1, 2, 6 \rangle + \langle 2, 4, 7 \rangle$ 16次元 codim 24
 $(21) = (2^*)$ $\langle 1, 3, 6 \rangle + \langle 2, 4, 6 \rangle - \langle 1, 2, 7 \rangle$ 19次元 codim 21
 $(18) = (3^*)$ $\langle 1, 4, 6 \rangle + \langle 2, 3, 6 \rangle + \langle 1, 2, 7 \rangle + \langle 1, 3, 8 \rangle$ 22次元 codim 18
 $(15) = (3^*)$ $\langle 2, 5, 6 \rangle - \langle 3, 4, 6 \rangle + \langle 2, 4, 8 \rangle - 2\langle 1, 2, 7 \rangle$ 25次元 codim 15
 $(26) = (4^*)$ $\langle 1, 2, 6 \rangle + \langle 3, 4, 7 \rangle$ 20次元 codim 20
 $(14) = (4^*)$ $\langle 2, 4, 6 \rangle - \langle 3, 5, 6 \rangle + \langle 1, 2, 7 \rangle + \langle 1, 3, 8 \rangle$ 26次元 codim 14
 $(11) = (4^*)$ $\langle 1, 4, 7 \rangle + \langle 2, 3, 7 \rangle - \langle 1, 2, 8 \rangle - \langle 1, 3, 9 \rangle - 2\langle 1, 5, 6 \rangle - 2\langle 3, 4, 6 \rangle$ 29次元 codim 11
 $(21) = (5^*)$ $\langle 1, 2, 6 \rangle + \langle 1, 3, 7 \rangle + \langle 1, 4, 8 \rangle$ 19次元 codim 21 n.ph
 $(12) = (5^*)$ $\langle 1, 2, 6 \rangle + \langle 4, 5, 6 \rangle - \langle 1, 4, 7 \rangle + \langle 2, 3, 7 \rangle - \langle 2, 5, 9 \rangle$ 28次元 codim 12
 $(16) = (5^*)$ $\langle 1, 2, 6 \rangle + \langle 3, 4, 7 \rangle + \langle 1, 3, 8 \rangle$ 24次元 codim 16
 $(9^{II}) = (5^{III})$ $2\langle 1, 3, 6 \rangle + 2\langle 4, 5, 6 \rangle - \langle 1, 4, 7 \rangle + \langle 2, 3, 7 \rangle - \langle 2, 4, 9 \rangle - 3\langle 1, 2, 8 \rangle$ 21次元 codim 9
 $(14) = (6^*)$ $\langle 4, 5, 6 \rangle + \langle 1, 2, 7 \rangle + \langle 1, 3, 8 \rangle$ 26次元 codim 14
 $(8^{II}) = (6^*)$ $\langle 2, 5, 6 \rangle + \langle 3, 4, 6 \rangle + \langle 1, 4, 7 \rangle + \langle 1, 3, 8 \rangle - \langle 2, 3, 8 \rangle + \langle 1, 2, 9 \rangle$ 32次元 codim 8
 $(14) = (6^*)$ $\langle 2, 5, 6 \rangle + \langle 3, 4, 6 \rangle + \langle 1, 2, 7 \rangle + \langle 2, 4, 8 \rangle + \langle 2, 3, 9 \rangle$ 26次元 codim 14 n.ph
 $(14^{II}) = (6^{III})$ $\langle 2, 3, 6 \rangle - \langle 1, 4, 6 \rangle - \langle 1, 2, 7 \rangle + \langle 4, 5, 7 \rangle + \langle 2, 4, 8 \rangle$ 26次元 codim 14 n.ph
 $(10) = (7^*)$ $\langle 1, 5, 6 \rangle + \langle 4, 5, 7 \rangle + \langle 3, 4, 8 \rangle - \langle 1, 4, 9 \rangle + \langle 2, 5, 9 \rangle$ 30次元 codim 10 n.ph
 $(15) = (7^*)$ $\langle 1, 5, 6 \rangle + \langle 1, 4, 7 \rangle + \langle 3, 4, 8 \rangle + \langle 4, 5, 9 \rangle$ 25次元 codim 15 n.ph
 $(7^*) \sim (7^{II})$
 $(27) = (7^{III})$
 $(8^*) \sim (8)$
 $(11^{II}) = (8^*)$ $\langle 4, 5, 6 \rangle + \langle 1, 2, 7 \rangle + \langle 3, 4, 7 \rangle - \langle 1, 3, 8 \rangle$ 29次元 codim 11
 $(13) = (9^*)$ $\langle 4, 5, 6 \rangle + \langle 1, 3, 7 \rangle + \langle 2, 4, 7 \rangle + \langle 2, 5, 9 \rangle$ 27次元 codim 13 n.ph
 $(9^*) \sim (9)$
 $(13^{II}) = (9^{II})$ $\langle 1, 4, 7 \rangle + \langle 2, 3, 7 \rangle + \langle 2, 4, 8 \rangle + \langle 2, 5, 9 \rangle$ 27次元 codim 13 n.ph
 $(10^*) \sim (10)$, $(11^*) = (15^{II})$
 $(10^{II}) = (12^*)$ $\langle 1, 2, 6 \rangle + \langle 1, 5, 8 \rangle + \langle 3, 5, 8 \rangle + \langle 3, 4, 9 \rangle$ 30次元 codim 10
 $(13^{II}) = (12^*)$ $\langle 4, 5, 6 \rangle + \langle 3, 5, 7 \rangle + \langle 1, 4, 7 \rangle + \langle 3, 4, 8 \rangle + \langle 1, 3, 9 \rangle$ 27次元 codim 13 n.ph
 $(12^{II}) = (20^*)$ $\langle 1, 3, 6 \rangle + \langle 2, 3, 7 \rangle + \langle 1, 4, 8 \rangle + \langle 2, 4, 9 \rangle$

HOLONOMY DIAGRAM
OF THE RELATIVE INVARIANT OF
 $SL(5) \times GL(4)$, $\mathbb{H} \otimes \square$

I. OZEKI, MAY 1975

REVISED NOV. 4, 1975



② binary n 次式の空間 \mathbb{C}^n .
 実数 n 次式 (2 次元 orbit) の系 \mathbb{R}^n ($n \geq 2$)
 および m 次式 $\times (n-m)$ 次式 (3 次元 orbit) の系 \mathbb{R}^n .
 原素の fiber と 1 次式 \mathbb{C}^n と交わる (i.e. $L \cap \mathbb{C}^n \neq \emptyset, n \geq 2, m \geq 2, n \geq 2$)

予想:

$$b(s) = \prod_{i=1}^2 (s + \frac{1}{2} + \frac{i}{5})^2 \cdot \prod_{i=1}^3 (s + \frac{1}{2} + \frac{i}{4})^3$$

$$\times \prod_{i=1}^4 (s + \frac{1}{2} + \frac{i}{6})^2 \cdot \prod_{i=1}^5 (s + \frac{1}{2} + \frac{i}{2})^2$$

$$\times \prod_{i=1}^3 \prod_{j=1}^3 (s + \frac{1}{2} + \frac{7i-j}{24})$$

$SL(5) \times GL(4)$
 $\mathbb{H} \otimes \square$